

ارزیابی الگوی بیان ژن رویسکو و برخی صفات فیزیولوژیک تحت تنش سرما در گیاه نخود

سیده صنم کاظمی شاهاندشتی^۱، رضا معالی امیری^{۲*}، حسن زینالی^۲، سیده سانا ز رمضانپور^۳، محسن مهدیه^۴، سید عباس طباطبایی فر^۵

۱ و ۲ دانشجوی کارشناسی ارشد، دانشیاران پردیس کشاورزی و منابع طبیعی دانشگاه تهران
 ۳ دانشیار گروه اصلاح نباتات و بیوتکنولوژی دانشگاه علوم کشاورزی و منابع طبیعی گرگان
 ۴ محقق موسسه تحقیقات دیم مراغه
 ۵ آموزشکده کشاورزی رضوان کرمان

تاریخ دریافت: ۱۳۹۱/۰۳/۲۴، تاریخ پذیرش: ۱۳۹۱/۰۷/۰۵

چکیده

گیاهان در فرآیند سازگاری به کمک تنظیم بیان ژن‌ها و متابولیسم سلولی به دماهای پایین پاسخ می‌دهند. در این پژوهش، میزان رونوشت ژن رویسکو به عنوان آنزیم مهم دخیل در فتوستتر و تولید انرژی، میزان پراکسیداسیون چربیهای غشا به عنوان شاخص خسارت سلولی و میزان پرولین به عنوان یکی از سازوکارهای حفاظت سلولی در شرایط دمایی معمولی (23 درجه سانتی گراد)، سرماسازگاری (10 درجه سانتی گراد)، تنش سرما (4 درجه سانتی گراد) و دوره بهبودی (23 درجه سانتی گراد) در نخود کابلی جم ارزیابی شد. نتایج حاکی از تفاوت معنی دار صفات مطالعه شده در تیمارهای آزمایش بود. افزایش بیان ژن رویسکو که با خسارت کمتر و میزان پرولین بیشتر غشاء همراه بود اهمیت رویسکو را به عنوان یکی از ژن‌های موثر در فرآیند پاسخ سلولی نشان داد. در دوره بهبودی بیان ژن افزایش معنی دار نشان داده و میزان خسارت غشایی کاهش یافت که حاکی از نجات سلول‌های گیاه تحت سرما و استقرار نوعی سازگاری جدید در نخود است. به طور کلی نتایج این مطالعه نشان داد که پایداری بیان ژن رویسکو با حفاظت کننده‌های سلولی و خسارت غشایی در ارتباط بوده و می‌تواند به عنوان یکی از فرآیندهای دخیل در ساز و کارهای تحمل محسوب شود.

کلمات کلیدی: بیان ژن، پراکسیداسیون چربی‌ها، تنش سرما، سازگاری، رویسکو.

محلول‌های سازگار و افزایش آنتی‌اکسیدان‌های سلولی انجام می‌شود (Nayyar *et al.*, 2005). گیاه نخود (*Cicer Arietinum L.*) به عنوان دومین لگوم خوراکی کشور، دارای تنوع مورفولوژیکی بالا، اما تنوع ژنتیکی ضعیف، حساس به سرما بوده و تحت تنش سرما تولید آن محدود می‌شود. سنجش میزان اثر عوامل مختلف در تحمل به تنش‌های غیر زنده از روش‌های متعددی از جمله اندازه‌گیری سطوح رونویسی زن‌ها و روش‌های فیزیولوژیکی انجام می‌گیرد. بنابر این یافتن رابطه بین پاسخ‌های مختلف گیاه در سطوح ژنتیکی و فیزیولوژیکی حائز اهمیت بوده و به ارزیابی بهتر گیاه و همچنین درک بعضی از ساز و کارهای تحت تاثیر تنش و تغییرات متابولیکی گیاه کمک می‌کند. یکی از آنزمیهای مهم در فعالیت فتوستزی گیاه، روپیسکو است که در حدود ۵۰ درصد پروتئین‌های برگی را شامل می‌شود. این پروتئین از زیر واحدهای بزرگ و کوچک تشکیل شده که به ترتیب بوسیله ژنوم کلروپلاست و هسته سنتز می‌شوند. مطالعات در گیاهان دیگر نشان داده که تنش‌های محیطی اثرات سوء بر فعالیت آنزیم روپیسکو داشته که به صورت کاهش سنتز یا فعالیت زیر واحدها، تخریب آنها و در نهایت کاهش فتوستز ظاهر می‌یابد (Moreno *et al.*, 2008). Leport *et al.* (1999) گزارش نمودند که ۵۰-۸۰ درصد کاهش در عملکرد در اثر محدودیت در فتوستز است. تنش سرما با

تنش سرما به عنوان یکی از مهمترین تشنگی‌های محیطی سبب کاهش عملکرد گیاهان و حتی مرگ آنها می‌شود (Jun-jie *et al.*, 2009). غشاء پلاسمایی به عنوان اولین بخش سلول که به تنش سرما پاسخ می‌دهد، ساختاری دینامیک بوده که از بسیاری از واکنش‌های بیوشیمیایی و بیوفیزیکی حمایت می‌کند. یکی از اثرات عمده تنش سرما بر غشاء، پراکسیداسیون چربی‌های غشایی است که در اثر ایجاد مالون دی‌آلدهید^۱ (MDA) به عنوان محصول نهایی پراکسیداسیون اسیدهای چرب غیراشبع به وجود می‌آید (Campos *et al.*, 2003). بدین ترتیب با تغییر در ساختار غشاء و پروتئین‌ها و افزایش مواد محلول سمهی، نفوذپذیری و انعطاف پذیری غشا افزایش یافته و خروج یون‌ها از غشا و در نتیجه ایجاد خسارت به گیاهان تسریع می‌شود (Bowers 1994). بنابراین اندازه‌گیری شاخص‌های خسارت به غشا یکی از معیارهای مطالعه پاسخ‌های گیاه به تنش سرما می‌باشد (Heidarvand *et al.*, 2011). در طبیعت القای تحمل به سرما با استقرار تدریجی گیاه در دماهای پایین غیرینخدان ایجاد می‌شود، فرآیندی که سرما‌سازگاری^۲، نامیده می‌شود (Thomashow., 1999). سرما‌سازگاری از طریق تغییرات متعدد در بیان ژن، کاهش یا توقف رشد، تغییر در ترکیب لیپیدی غشا، تغییر در ترکیب

¹ Malondialdehyde (MDA)² Cold acclimation

(2007). به نظر می‌رسد کشت زمستانه نخود می‌تواند بخشی از این مشکلات را حل نموده اما نیاز به بهبود تحمل به تنش سرما در این گیاه احساس می‌شود. در این پژوهش، میزان بیان ژن روپیسکو در سطح RNA و همچنین برخی پاسخ‌های فیزیولوژیکی گیاه نخود از جمله مقدار خسارت واردۀ به غشا و میزان پرولین در فواصل زمانی اعمال تیمار سرمایی در نخود جم ارزیابی شد.

مواد و روش‌ها

در این پژوهش از نخود کابلی جم استفاده شد. بذور با وايتکس ده درصد به مدت ده دقیقه ضد عفونی شده و پس از شستشو با آب مقطر بر روی کاغذ صافی در پتری دیش با رطوبت لازم قرار گرفت. پتری‌دیش‌ها در شرایط بدون نور و دمای 23 درجه سانتی‌گراد قرار گرفتند (Kaur *et al.*, 2008) و پس از جوانه زنی، گیاهچه‌ها به گلدان‌ها انتقال یافت. گلدان‌ها در اتفاق رشد با نور 200 میکرومول بر اینیشن و شرایط نوری 16 ساعت روز و 8 ساعت شب و دمای 23 درجه سانتی‌گراد و رطوبت نسبی 75 درصد قرار داده شد. نمونه گیری از برگ گیاهچه‌های سه هفتاهی انجام شد. گیاهچه‌های دو تا سه هفتاهی به دو قسم تقسیم شدند بخشی از آنها در دمای 23 درجه سانتی‌گراد و شرایط فوق الذکر نگهداری شده و بخشی دیگر به دمای 10 درجه سانتی‌گراد جهت سرما سازگاری انتقال یافت. به منظور

آسیب به غشاء‌های کلروپلاستی می‌تواند بیشترین خسارت را به فتوستنتز و راندمان (Kingston-Smith *et al.*, 1997) بنابراین بررسی روند تغییرات بیان ژن روپیسکو تحت تیمارهای کسترل، سرما سازگاری و تنش سرما احتمالاً بیان‌گر بخشی از پاسخ‌های سلولی می‌تواند باشد. پرولین¹ از جمله محلول‌های سازگار، نیز به عنوان یکی از مکانیسم‌های حفاظت عمومی در سلول‌های گیاهی عمل می‌کند. تجمع پرولین منجر به افزایش اسمبلیتۀ سلول شده و فشار لازم برای توسعه بافت سلولی² را فراهم می‌آورد. در نتیجه یکپارچگی غشا برای جلوگیری از تجربه پروتئین‌ها، تحت تنش اسمزی یا دهیدراسیون که به طور غیر مستقیم از تنش شوری، گرمای و سرما به وجود می‌آیند، حفظ می‌شود. پرولین همچنین از ساختار و فعالیت‌های پروتئینی محافظت کرده و نقش کلیدی در حفاظت از فعالیت فتوستنتزی دارد. به طور سنتی نخود در مناطق مدیترانه‌ای و ایران به صورت بهاره کشت می‌شود. کشت بهاره اغلب با تنش‌های خشکی و گرمایی آخر فصل مواجه شده Deokar *et al.*, (2011)، که تولید را کم و بی ثبات می‌کند (Berger *et al.*, 2011)، به طوری که هر ساله حدود 14-15 درصد خسارت محصول به دلیل افزایش دمای آخر فصل و کاهش رطوبت خاک و نیز کاهش بارش‌ها در مناطق مدیترانه‌ای رخ می‌دهد (

¹ Proline

² Expansion

می باشد (Zhirov et al., 1982; Maali-Amiri et al., 2007).

سنجر مقدار پرولین نیز به روش اسپکتروفوتومتری و در دمای $25 \pm 1^{\circ}\text{C}$ با استفاده از روش بیتس (1973) اندازه گیری شد. به ۰/۵ گرم نمونه گیاهی تازه ۱۰ میلی لیتر اسید سولفورسالیسیلیک ۳ درصد اضافه شد و به طور یکنواخت کوییده شد و به تیوب ۱۵ میلی لیتری منتقل شد. تیوب های حاوی نمونه ۲۰ دقیقه با سرعت ۴۰۰۰ دور در دقیقه سانتریفیوژ شد، سپس ۲ میلی لیتر از عصاره به تیوب های جدید منتقل و ۲ میلی لیتر اسید ناین هیدرین (برای تهیه اسید ناین هیدرین $1/25$ گرم پودر اسید ناین هیدرین در ۳۰ میلی لیتر اسید استیک گلایسل حل شد و سپس ۲۰ میلی لیتر اسید فسفریک ۶ مولار آماده شده، به آن اضافه شد). و ۲ میلی لیتر اسید استیک گلایسل به آن اضافه و محلول ورتکس شد. همزمان مقدار ۲۰ میلی لیتر از استانداردهای ۰، ۴، ۸، ۱۲، ۱۶، ۲۰ میلی گرم در لیتر پرولین را درون تیوبهای جدید ریخته و ۲ میلی لیتر اسید ناین هیدرین و ۲ میلی لیتر اسید استیک گلایسل به آن اضافه و محلول ورتکس شد. تمام نمونه ها در حمام آب گرم ^۴ به مدت یک ساعت حرارت داده شد و سپس نمونه ها بر روی یخ قرار داده شد تا کاملا سرد شود. ۴ میلی لیتر تولوئن به محلول اضافه نموده و به مدت ۲۰ ثانیه با ورتکس به هم زده شد. میزان پرولین به

سرماسازگاری، گیاهچه ها پنج روز در این دما نگهداری شدند. سپس، گیاهچه ها به دمای چهار درجه سانتی گراد به مدت سه روز انتقال یافتند. بعد از اتمام دوره تنفس و جهت بررسی فرآیند بهبود ^۱، گیاهچه ها به دمای ۲۳ درجه سانتی گراد انتقال یافتند. نمونه گیری از گیاهچه ها در روزهای اول و پنجم سرمهیزگاری، روز دوم تنفس و روز دوم دوره بهبودی انجام شد. میزان اکسیداسیون گیاهچه ها بر اساس تجمع مالون دی آلدھید برگ با استفاده از تیوباریتوريک اسید تعیین شد (Heath and Packer., 1968). ۲۵۰ میلی گرم نمونه برگی از بخش میانی ساقه در دو میلی لیتر بافر استخراج (TCA) یک درصد) هموژنه شده و به مدت پانزده دقیقه در سانتریفیوژ با سرعت ۱۳۰۰۰ g قرار داده شد. یک میلی لیتر از محلول فوقانی به دست آمده با دو میلی لیتر محلول تیوباریتوريک اسید حاوی TCA (TBA) پنج درصد و ۹۵ بیست درصد) مخلوط و در حمام آب جوش (درجه سانتی گراد) به مدت ۳۰ دقیقه قرار داده شد. پس از سانتریفیوژ با سرعت ۱۰۰۰۰ g به مدت ده دقیقه، چگالی ^۲ نمونه در طول موج ۵۳۲ نانومتر در دستگاه اسپکتروفوتومتر (Shimadzoon160) تعیین شد. غلظت مالون دی آلدھید بر اساس فرمول

$$C = \frac{D}{E}$$

محاسبه شد که D همان چگالی و E ضریب تمایز مولار ($\text{مول}/\text{سانتی متر}^{1/56 \times 105}$)

^۳ Nine hydrine

^۴ Ben marry

^۱ Recovery

^۲ Optical density

سپس یک میکرولیتر EDTA به تیوبها اضافه شد و به مدت ۱۰ دقیقه در دمای ۶۵ درجه سانتی گراد قرار داده شدند. تیوبها جهت نگهداری، در دمای ۸۰- درجه سانتی گراد قرار داده شدند. برای ساخت cDNA، از روش پیشنهادی شرکت فرمتاز برای تمامی نمونه‌ها استفاده شد. اولین رشته‌ی cDNA با کمک آغازگر الیگو دی‌تی^۳ (20-18) RNA نوکلئوتید) ساخته شد. مقدار ۵ میکرولیتر از RNA ای که با DNase تیمار شده بود، همراه با ۰/۵ میکروگرم آغازگر الیگو دی‌تی (20-18 نوکلئوتید) مخلوط شد و حجم محلول با استفاده از آب DEPC مخلوط شد و حجم محلول با استفاده از آب به ۱۱ میکرولیتر رسانده شد. مخلوط حاصل به مدت ۵ دقیقه در دمای ۷۰ درجه سانتی گراد قرار داده شد و پس از آن به سرعت روی یخ، سرد گردید. سپس ۴ میکرولیتر بافر واکنش و ۲ میکرولیتر دی‌اکسی- نوکلئوتیری‌فسفات^۴ با غلظت ۱۰ میکرومول و ۲۰ واحد آنزیم RNase inhibitor به هر تیوب افزوده شد و حجم محلول با آب DEPC به ۱۹ میکرولیتر رسانده شد و به مدت ۵ دقیقه در دمای ۳۷ درجه سانتی گراد قرار داده شد. بعد از آن ۲۰۰ واحد (u) آنزیم Revert Aid M-Mulv به محلول فوق اضافه شده و پس از مخلوط نمودن به مدت یک ساعت در دمای ۴۲ درجه سانتی گراد قرار داده شد. سپس به منظور غیرفعال نمودن واکنش، تیوب‌ها به مدت ۱۰ دقیقه در دمای ۷۰ درجه سانتی گراد قرار گرفتند. برای تایید سنتز cDNA از روش RT-PCR

کمک دستگاه اسپکتروفوتومتر و در طول موج ۵۲۰ نانومتر قرائت شد. داده‌های آزمایش با استفاده از نرم افزار SPSS ۱۹.۰ بر اساس آزمون t مورد تجزیه و تحلیل آماری قرار گرفته و میانگین‌ها با استفاده از آزمون دانکن مقایسه شدند.

استخراج RNA و ساخت cDNA

۸۰ میلی گرم از بافت مورد نظر (برگ گیاه) که با کمک هاون چینی استریل به خوبی در نیتروژن مایع کوبیده شده بودند برای استخراج RNA کل به روش بایوزول^۱ استفاده شد. غلظت RNA پس از هر استخراج، با استفاده از دستگاه نانودرایپ و در طول موج ۲۶۰ نانومتر تعیین گردید. مقدار کل RNA بر حسب میکروگرم در میکرولیتر محاسبه شد. همچنین جهت تعیین کیفیت RNA نیز مقدار ۵ میکروگرم از هر نمونه روی ژل یک درصد آکارز، الکتروفورز شد تا نسبت به کیفیت بالای آن اطمینان حاصل شود. پس از اطمینان از کیفیت RNA و مشاهده باندهای مربوط به RNA ریبوزومی ۱۸s و ۲۸s تیمار آنزیمی DNase بر اساس روش پیشنهادی شرکت فرمتاز^۲ برای تمامی نمونه‌ها اعمال شد. دو میکروگرم RNA، یک میکرولیتر بافر، یک واحد (u) آنزیم DNaseI و ۱۰ واحد آنزیم RNase inhibitor(u) مخلوط شدند و به مدت ۳۰ دقیقه در دمای ۳۷ درجه سانتی گراد قرار گرفتند.

³ Oligo dt

⁴ Deoxynucleothriphosphate

¹ Biozol

² Fermentase

دقیقه در دمای ۹۴ درجه سانتی گراد و ۳۵ تکرار با چرخه های ۱۰ ثانیه در دمای ۹۵ درجه سانتی گراد، ۱۰ ثانیه در دمای ۵۸ درجه سانتی گراد (دمای T_m آغازگر) و ۱۰ ثانیه در دمای ۷۲ درجه سانتی گراد. بیان نسبی ژن ها با روش ΔΔCT ² محاسبه شد. به این صورت که هر تیمار با گیاهان کترول مربوط به زمان خود مقایسه گردید. جهت تجزیهی دادهها از نرم افزار⁶ REST استفاده شد.

و الکتروفورز روی ژل در درصد آکارز استفاده شد.

طراحی آغازگر برای کمیت سنجی با واکنش زنجیرهای پلیمراز¹

طراحی آغازگر برای ژن رویسکو² و ژن خانه دار آکتین³ با استفاده از نرم افزار پرایمر ۳ انجام شد. توالی آغازگر ژن اختصاصی و ژن خانه دار در جدول ۱ ارائه شده است.

نتایج و بحث

زنوتیپ جم در مرحله‌ی گیاهچه‌ای تحت دمای ۱۰ درجه سانتی گراد قرار گرفت. دمای ۱۰ درجه سانتی گراد مطابق با تحقیق گذشته (Habibpour *et al.*, 2012) در مطالعه پاسخ گیاهچه‌های نخود به دمای سازگاری انتخاب شد. نتایج آزمایش نشان داد که مقایسه پاسخ های فیزیولوژیکی و مولکولی گیاه نخود روش کارآمدی در بررسی برخی سازوکارهای دفاعی تحت تشن سرما محسوب می‌شود. آزمون مقایسه میانگین داده‌های پراکسیداسیون غثنا (MDA)، اختلاف معنی‌داری بین تیمارهای دمایی نشان داد که بیانگر تنوع بالقوه پاسخ‌های گیاه تحت این شرایط بود (شکل ۱).

انجام روش⁴ QRT-PCR

در این پژوهش از دستگاه iQ5 شرکت بایورد⁵ و کیت حاوی رنگ فلورسنت SYBR (دانشگاه علوم کشاورزی و منابع طبیعی گرگان) برای ارزیابی کمی استفاده گردید. ۲۰ میکرولیتر مخلوط واکنش شامل ۱۰ میکرولیتر مخلوط SYBR BioPars یک میکرولیتر از هریک از آغازگرهای اختصاصی پیشرو و پسرو با غلظت ۱۰ میکرومول، ۳ میکرولیتر آب مقطر استریل و ۵ میکرولیتر نمونه cDNA مورد بررسی بود. برای هر واکنش سه تکرار تکنیکی و دو تکرار بیولوژیکی در نظر گرفته شد. پس از آماده نمودن مخلوط واکنش، پلیت مورد نظر به دستگاه iQ5 متنقل گردید و با شرایط زیر واکنش زنجیرهای پلیمراز انجام شد:

¹ Real-time PCR

² Rubisco

³ Actin

⁴ Quantitative Reverse Transcript PCR

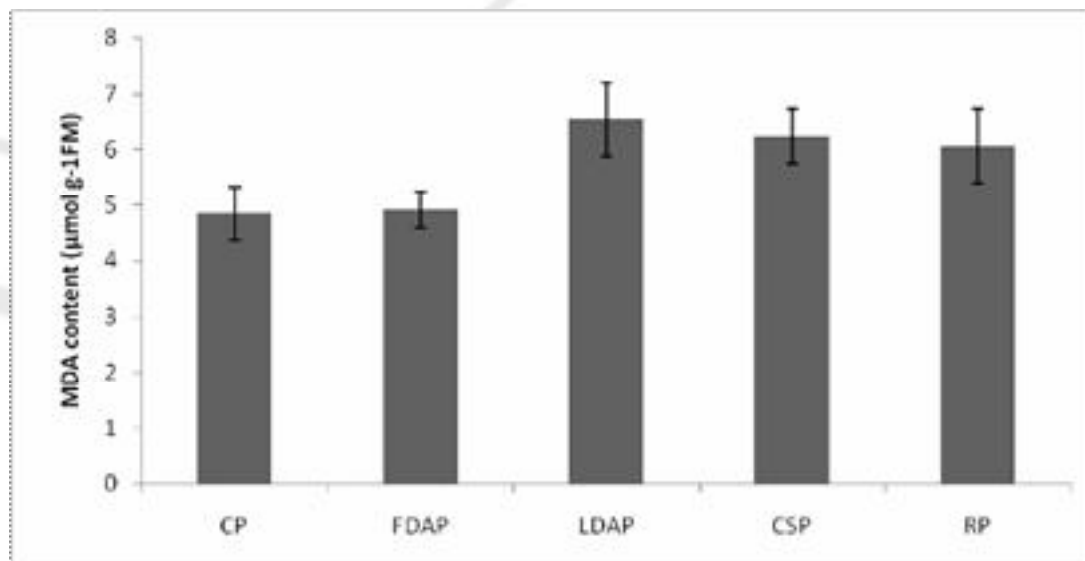
⁵ BioRAD

⁶ Relative Expression Software Tool

جدول ۱- توالی و خصوصیات آغازگر ژن رو بیسکو و آکتین.

Table 1-the characteristics and sequences of rubisco and actin genes.

Primer name	Sequence
Actin chickpea 841 F	CTACGAATTGCCTGATGGAC
Actin chickpea 1029 R	CCTCCTGAAAGGACGATGIT
Rubisco small subunit-For	CAACACTTGAACAGCCTCAG
Rubisco small subunit-Rev	GGGATGGGTTCCCTTGCT



شکل ۱- شاخص پراکسیداسیون چربیهای غشایی(MDA) در گیاهچه‌های نخود تحت تیمارهای کنترل (LDAP)، اولین روز سرماسازگاری ۱۰ درجه سانتی‌گراد (FDAP)، پنجمین روز سرماسازگاری (CP)، تنش سرما ۴ درجه سانتی‌گراد (CSP) و فاز بهبودی (RP).

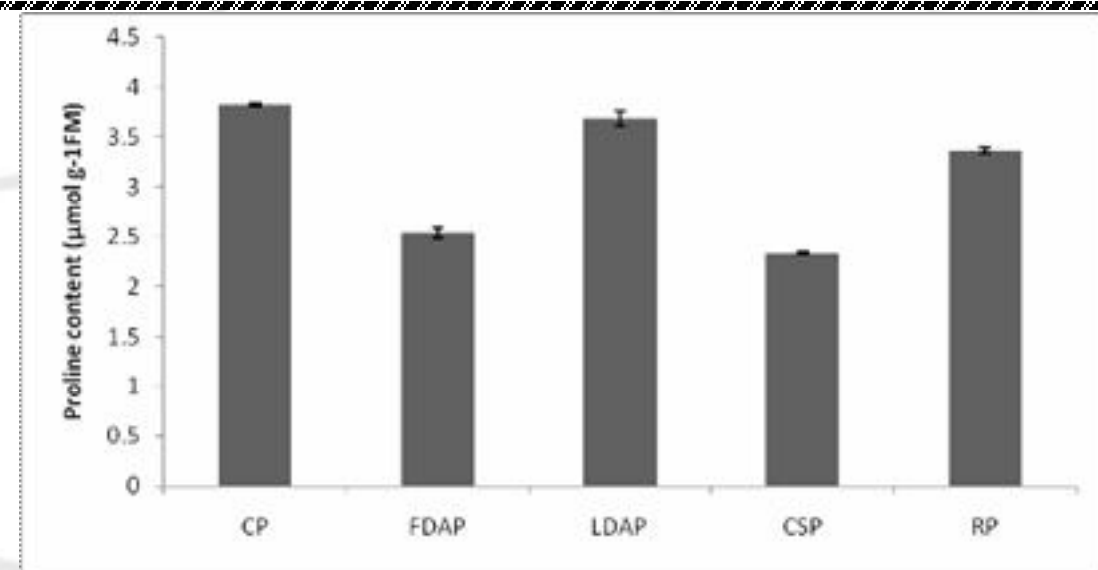
Figure 1- membrane lipid peroxidation index of chickpea seedlings in different thermal treatments, first day of acclimation phase 10°C (FDAP), fifth day of acclimation phase (LDAP), cold stress phase (CSP) and recovery phase (RP).

یکی از عوامل مهم تحمل گیاه به تنش سرما محسوب می‌شود (Maali-Amini *et al.*, 2007; Deryabin *et al.*, 2005). تیمار دمایی ۴ درجه سانتی‌گراد در گیاه سازگار شده سبب کاهش میزان MDA شد که اهمیت سرما سازگاری در گیاه را

انتقال گیاهچه‌ها از دمای 23 درجه سانتی گراد به دمای 10 درجه سانتی‌گراد در روز اول تغییر قابل توجهی را در میزان MDA ایجاد نکرد، اما در روز پنجم افزایش نشان داد. به طور کلی میزان کم پراکسیداسیون غشاء در سلولهای برگ

تحت تنش‌های سرما عمل می‌کند. در فاز بهبودی نیز با کاهش میزان MDA سطح پروولین نیز به سطح کنترل نزدیک می‌شود. نکته جالب این تحقیق آن است که میزان پروولین در سراسر آزمایش، از سطح آن در تیمار شاهد افزایش نیافت. بنابراین به نظر می‌رسد که تغییر میزان پروولین بیشتر در درجه تحمل به تنش سرما دخالت دارد و به عنوان یکی از مکانیسم‌های تحمل ایفای نقش می‌کند. پژوهش‌ها نشان داده که تحت تنش‌های سرما، خشکی و شوری فعالیت آنزیم روپیسکو در گیاهان کاهش می‌یابد (Hashimoto and Komatsu, 2007). در مطالعه حاضر، القا تیمارهای دمایی سبب تغییر بیان ژن روپیسکو شد. تجزیه‌ی داده‌ها با کمک نرم افزار REST نشان داد که بیان ژن روپیسکو در فواصل زمانی پس از قرار گیری در دمای 10 درجه‌ی سانتی‌گراد اختلاف معنی داری با تیمار کنترل در شرایط بدون تنش (23 درجه سانتی‌گراد) نشان داده است به طوری که میزان نسبی بیان ژن تا حدود 9 برابر افزایش یافت (شکل 3). به نظر می‌رسد با شروع دوره سرما سازگاری، گیاه در جهت مقابله با دمای پایین سعی در تولید انرژی بیشتر و افزایش فعالیت در جهت مهرل اثرات سوء دمای پایین است. یعنی گیاه تنش دمای پایین را درک کرده و پاسخ‌های متعدد در سطوح مولکولی و فیزیولوژیکی را آغاز کرده است (Sukumaran and Weiser., 1972; Nazari *et al.*, 2011).

تایید کرد. در فاز بهبودی نیز نتایج حاکی از کاهش میزان MDA در سطح سلول بود که بیانگر بهبود پاسخ‌های گیاه در جهت مقابله با تنش سرمایی است. نتایج بررسی تغییرات پروولین نیز حاکی از آن بود که گیاه نخود سیستم دفاعی خود را در مقابله با تنش سرما فعال کرده است. بررسی تغییرات مشاهده شده در پروولین رابطه جالبی با نتایج MDA نشان داد به طوری که در روز اول سرماسازگاری میزان پروولین کاهش یافت و قی که میزان پراکسیداسیون غشا تغییر معنی داری نداشت. به نظر می‌رسد عدم حضور گونه‌های اکسیژن فعال اگرچه دمای محیط رشد به پایین‌تر از شرایط نرمال رسیده است، سبب تغییر هتابولیت‌های سلولی در جهت کاهش فعالیت حفاظتی و دفاعی عمل می‌کند. نتایج بیان ژن روپیسکو در ادامه این نتیجه را تایید می‌کند. در روز پنجم سازگاری با افزایش MDA میزان پروولین نیز افزایش می‌یابد. بنابراین با افزایش میزان MDA گونه‌های اکسیژن فعال که به افزایش میزان MDA منجر می‌شود سلول مسیرهای متعدد دفاعی حفاظتی خود را فعال می‌کند که به نظر می‌رسد یکی از آن‌ها پروولین باشد (شکل 2). چنین روند معقولی در تیمارهای دیگر دمایی نیز ادامه پیدا کرد. تیمار دمایی 4 درجه سانتی‌گراد در گیاهان سازگار شده سبب کاهش MDA و کاهش میزان پروولین شد. این موضوع تایید کننده نتایج به دست آمده در تحقیقات Kaur *et al.* (2011) بوده و نشان داد پروولین به عنوان یکی از مکانیسم‌های دفاعی نخود

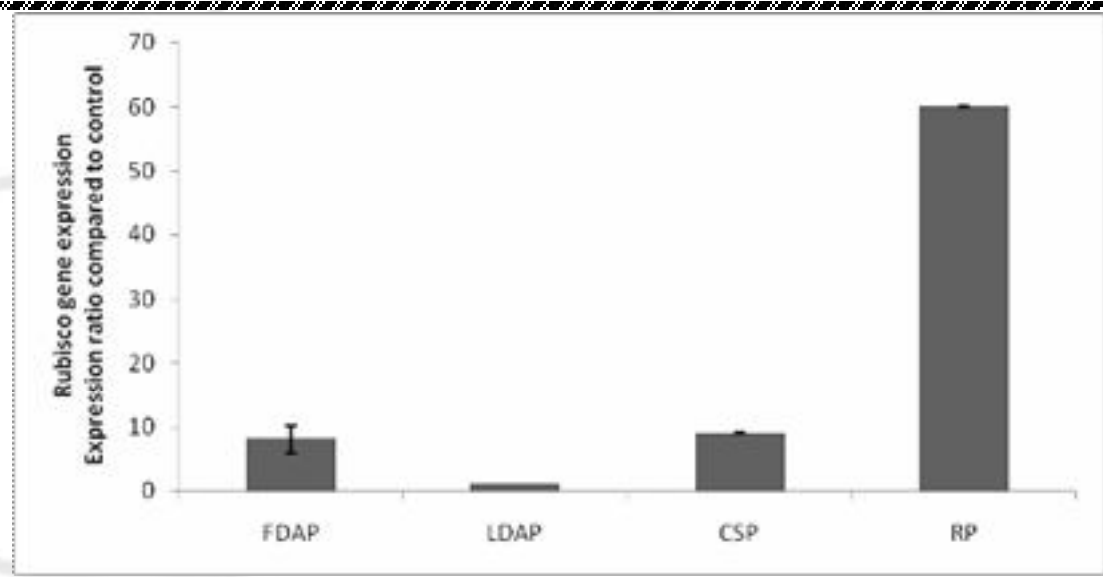


شکل ۲- تغییرات میزان پرولین آزاد سلول گیاهی نخود تحت تیمارهای کنترل (CP) اولین روز سرمازگاری ۱۰ درجه سانتی گراد (FDAP)، پنجمین روز سرمازگاری (LDAP)، تنش سرمای ۴ درجه سانتی گراد (CSP) و فاز بهبودی (RP).

Figure 2- changes of chickpea cells free proline content in different thermal treatments, first day of acclimation phase 10°C (FDAP), fifth day of acclimation phase (LDAP), cold stress phase (CSP) and recovery phase (RP).

فتوستتزی شد. همچنین تغییر کمی پاسخهای فیزیولوژیکی و مولکولی در فواصل زمانی استقرار در تیمارهای آزمایش، مدت زمان تنش را به عنوان عنصر کلیدی در مطالعه تحمل به تشن تعیین کرد. مطالعات گذشته نشان می دهد که افزایش گونه های اکسیژن فعل سبب القا اثرات سوء مستقیم و غیر مستقیم بر زیر واحدهای روپیسکو می شود (Marin-Navarro and Moreno 2006; Yan 2006).

بررسی تغییرات مشاهده شده در تیمارهای دمایی این تحقیق رابطه جالبی بین بیان ژن روپیسکو و MDA نشان داد. عدم تغییر معنی دار در میزان پراکسیداسیون لیپیلی در روز نخست سرمازگاری به معنای عدم خسارت تلقی شد یعنی القاء دمای پایین از یک طرف و عدم افزایش میزان پراکسیداسیون لیپیدی از طرف دیگر سبب افزایش فعالیت فتوستتزی گیاه شد. اما با طولانی شدن دوره سرمازگاری میزان MDA در سلول افزایش یافت که این افزایش منجر به کاهش فعالیت ژن های



شکل ۳- سطوح نسبی رونوشت ژن رو بیسکو در گیاهچه های نخود تحت تیمارهای کنترل (CP)، اولین روز سرما سازگاری در دمای ۱۰ درجه سانتی گراد (FDAP)، پنجمین روز سرما سازگاری (LDAP)، تنش سرمای ۴ درجه سانتی گراد (CSP) و فاز بهبودی (RP).

Figure 3- Quantitative levels of rubisco gene expression in chickpea seedlings in different thermal treatments, first day of acclimation phase 10°C (FDAP), fifth day of acclimation phase (LDAP), cold stress phase (CSP) and recovery phase (RP).

دمی چهار درجه، دمای LT_{50} در نخود محسوب می شود (Nayyar *et al.*, 2005). دوره سرما سازگاری حتی با کاهش موقت میزان فتوستراتزی، سبب پایداری سلول و مهار گونه های اکسیژن فعال شده است که بیانگر درک گیاه از بهبود شرایط و همکاری فاکتورهای مختلف سلولی در بازگشت گیاه به شرایط قبل از تنش می باشد. نتایج نشان می دهد که گیاه نخود با گذراندن دوره سرما سازگاری، همان شرایطی که معمولاً در طبیعت رخ می دهد احتمالاً قادر به تحمل دمای های پایین (در این آزمایش، ۴ درجه سانتی گراد) می باشد. بنابراین به نظر می رسد که گیاه نخود در مناطقی از کشور که

بنابراین، به نظر می رسد القاء دمای پایین سبب تنظیم منفی فعالیت رو بیسکو در سطح رونویسی شده و سلول با کاهش فعالیت فتوستراتزی، به افزایش فعالیت های دفاعی در جهت مهار پراکسیداسیون لیپیدی اقدام کرده است. کاهش معنی دار میزان MDA در دوره دمایی چهار درجه سانتی گراد موید این مسئله بود. بنابراین به نظر می رسد دوره سرما سازگاری ایجاد نوعی سازگاری سلولی در جهت مقابله با سرما در این آزمایش کرده است. این وضعیت با توجه به کاهش میزان پراکسیداسیون سلولی در فاز بهبودی و افزایش میزان بیان ژن رو بیسکو قابل بررسی بود. پژوهش ها نشان داده

تحمل به سرما در نخود در جزئیات بیشتر بررسی شود.

سپاسگزاری

هزینه این پژوهش از محل اعتبار طرح ۹۱۰۰۰۹۴۲ صندوق حمایت از پژوهشگران کشور تامین شده که مولفین کمال تشکر و قدردانی دارند.

فاقد زمستانهای خیلی سرد هستند، کشت شود. مطالعات قبلی نشان داد که کشت پاییزه یا زمستانه نخود، احتمالاً با افزایش دوره رشد رویشی و امکان استفاده از رطوبت خاک و یا نزولات آسمانی سبب افزایش عملکرد حتی تا دو برابر شود (Habibpour et al., 2012). در اثبات این مسئله بایستی سازوکارهای فیزیولوژیکی، بیوشیمیایی و مولکولی

منابع

- Attallah CV, Welchen E, Martin AP, Spinelli SV, Bonnard G, Palatnik JF, Gonzalez DH (2011). Plants contain two SCO proteins that are differentially involved in cytochrome c oxidase function and copper and redox homeostasis. *Journal of Experimental Botany* 62: 4281-4294.
- Bates LS, Waldren RP, Teare ID (1973). Rapid determination of proline for water stress studies. *Plant and Soil* 39: 205-208.
- Bowers MC (1994). Environmental effects of cold on plants. In: Wilkinson, R.E. (Ed.), *Plant-Environment Interactions*. Marcel Dekker, New York, pp. 391–411.
- Campos PS, Quartin V, Ramalho JC, Nunes MA (2003). Electrolyte leakage and lipid degradation account for cold sensitivity in leaves of Coffea sp. *Plants. .Journal of Plant Physiology* 160: 283–292.
- Deokar, A. A., V. Kondawar (2011). Comparative analysis of expressed sequence tags (ESTs) between drought-tolerant and -susceptible genotypes of chickpea under terminal drought stress. *BMC Plant Biology* 11: 1-70.
- Deryabin AN, Dubinina IM, Burakhanova EA, Astakhova NV, Sabelnikova EP, Trunova TI (2005). Influence of yeast-derived invertase gene expression in potato plants on membrane lipid peroxidation at low temperature. *Thermal Biology* 30: 73-77.
- Habibpour F, Zeinali H, Maali Amiri R, Nazari M (2012) .Genotypic Variability and physio-biochemical characteristic of Iranian black chickpea to cold stress. *Romanian Agricultural Research* 29: 121-130.
- Hashimoto M and Komatsu S (2007). Proteomic analysis of rice seedlings during cold stress Proteomics. 7: 1293–1302.

- Heath RL, Packer L (1968). Photoperoxidation in Isolated Chloroplasts. 1. Kinetics and Stoichiometry of Fatty Acid Peroxidation. *Archives of Biochemistry and Biophysics* 125: 189-215.
- Heidarvand L, Maali Amiri R, Naghavi MR Farayedi Y, Sadeghzadeh B, Alizadeh KH (2011). Physiological and morphological characteristics of chickpea accessions under low temperature stress. *Russian Journal of Plant Physiology* 58: 157–163
- Jun-jie G, Tao LI, Xian-chang YU (2009). Gene expression and activities of SOD in cucumber seedlings were related with concentrations of Mn²⁺, Cu²⁺, or Zn²⁺ under low temperature stress. *Agricultural Sciences in China* 6: 678-684.
- Kaur G, Kumar S, Nayyar H, Upadhyaya HD (2008). Cold Stress Injury during the Pod-Filling Phase in Chickpea (*Cicer arietinum* L.): Effects on Quantitative and Qualitative Components of Seeds. *Journal of Agronomy and Crop Sciences* 194: 457-464.
- Kaur G, Kumar S, Thakur P, Malika JA, Bhandhari K, Sharmab KD, Nayyar H (2011). Involvement of proline in response of chickpea (*Cicer arietinum* L.) to chilling stress at reproductive stage. *Scientia Horticulturae* 128: 174–181.
- Kingston-Smith AH, Harbinson J, Williams J, Foyer CH (1997). Effect of chilling on carbon assimilation, enzyme activation, and photosynthetic electron transport in the absence of photoinhibition in maize leaves. *Plant Physiology* 114: 1039-1046.
- Leport L, Turner NC, French RJ, Barr MD, Duda R, Davies SL, Tennant DF, Siddique KHM (1999). Physiological responses of chickpea genotypes to terminal drought in a mediterranean-type environment. *European Journal of Agronomy* 11: 279–291.
- Maali-Amiri R, Goldenkova-Pavlova I., Pchelkin VP, Tsydendambaev VD, Vereshchagin AG, Deryabin AN, Trunova TI, Los DA and Nosov AM (2007). Lipid Fatty Acid Composition of Potato Plants Transformed with the Δ12-Desaturase Gene From Cyanobacterium. *Russian Journal of Plant Physiology* 54: 678-685.
- Marin-Navarro J, Moreno J (2006). Cysteines 449 and 459 modulate the reduction-oxidation conformational changes of ribulose 1,5-bisphosphate carboxylase/oxygenase and the translocation of the enzyme to membranes during stress. *Plant Cell Environment* 29: 898-908.
- Moreno J, Garcia-Murria MJ, Marin-Navarro J (2008). Redox modulation of rubisco conformation and activity through its cysteine residues. *Journal of Experimental Botany* 59: 1605-1614.
- Nayyar H, Bains TS, Kumar S (2005). Chilling stressed chickpea seedlings: effect of cold acclimation, calcium and abscisic acid on cryoprotective solutes and oxidative damage. *Environmental and Experimental Botany* 54: 275–285.

- Nazari MR, Maali Amiri R, Ramezanpour SS (2011). Quantitative Assessment of Gene Expression Pattern of Beta galactosidase and Beta glucosidase under Cold Stress Condition in Chickpea. Modern Genetics Journal 4: 59-70.
- Sukumaran NP, Weiser CJ (1972). An Excised Leaflet Test for Evaluation Potato Frost Tolerance. HorScience 7: 467-468.
- Thomashow MF (1999). Plant cold acclimation. Annual Review of Plant Physiology and Plant Molecular Biology 50: 571–599.
- Yan SP (2006). Comparative proteomic analysis provides new insights into chilling stress responses in rice. Molecular and Cellular Proteomics 5: 484-496.
- Zhirov VK, Merzlyak MN, Kuznetsov LV (1982). Peroxidation of membrane lipids in cold-resistant plants damaged by below-zero temperature. Russian Journal of Plant Physiology 29: 1045–1052.

Assessment of Gene Expression Pattern of Rubisco and some physiological characteristics under Cold Stress Condition in Chickpea

Kazemi Shahandash ti S.S.¹, Maali-Amiri R.*¹, Zeinali H.¹, Ramezanpour S.S.², Mahdieh M.³, Tabatabaifar S.A.⁴

1-Department of Agronomy and Plant Breeding, University College of Agriculture and Natural Resources, University of Tehran, Karaj, Iran

2-Department of Plant Breeding and Biotechnology, Gorgan University of Agricultural Sciences and Natural Resources, Gorgan, Iran

3- Dryland Agricultural Research Institute, Ministry of Jihad-e-Agriculture Research and Education Organization

4- Junior College of Rezvan, Kerman.

Abstract

Plant responses to low temperatures have been created through cold acclimation process using gene expression regulatory mechanisms. In this research, the quantitative gene expression ratio of *rubisco*, as an important enzyme participating in photosynthesis and cell energy production, the peroxidation of membrane fatty acids as a damage index, and the changes in proline content as one of the cell protecting mechanisms in normal, acclimation, cold stress and recovery temperatures have been assessed. Our results have shown meaningful differences between thermal treatments in studied characteristics. Increasing *Rubisco* gene expression accompanied by low damage index and high membrane proline has revealed the importance of Rubisco as one of the effective genes in cell response processes. At the end of cold stress situation and by starting recovery phase, *Rubisco* gene expression increased which is a sign of decreasing membrane damage, surveying plant cells and stabilizing a new homeostasis in chickpea. All in all, this study showed that the regulation of *Rubisco* gene expression related with cell protecting agents and membrane damage and can be assumed as one of the important processes in tolerant mechanisms.

Keywords: Acclimation, Cell membrane fatty acids peroxidation, Cold stress, Quantitative gene expression, Rubisco.

* Corresponding Author: Maali-Amiri R Tel: 09124190124

Email: rmamiri@ut.ac.ir